

Оригинальная статья

Значимость эндосонографии в диагностике опухолевой и предопухолевой патологии гортани, ротоглотки и гортаноглотки

Г.Ф. Аллахвердиева^{✉1}, Г.Т. Синюкова¹, О.А. Малихова^{1,2}, А.О. Туманян¹, Л.В. Черкес¹, Е.А. Гудилина¹, Т.Ю. Данзанова¹, В.В. Опекунова¹

¹ФГБУ «Национальный медицинский исследовательский центр онкологии им. Н.Н. Блохина» Минздрава России, Москва, Россия;

²ФГБОУ ДПО «Российская медицинская академия непрерывного профессионального образования» Минздрава России, Москва, Россия

[✉]goncha06@rambler.ru

Аннотация

Цель. Изучение возможности эндосонографии в диагностике опухолевой и предопухолевой патологии гортани, ротоглотки и гортаноглотки.

Материалы и методы. Эндосонографическое исследование было проведено 20 больным с опухолями и подозрением на опухоли гортани, гортаноглотки и ротоглотки.

Результаты. Применение эндосонографического метода было полезным и важным в определении толщины и структуры опухоли, при гиперплазии язычной и небных миндалин. Эндосонографическая картина фиброзных изменений после перенесенных хирургических вмешательств и постлучевых изменений, отсутствие кровотока в фиброзной ткани и размытость контуров давали дополнительную информацию в дифференциальной диагностике при опухолевых и неопухолевых изменениях. Было получено подтверждение результатов ультразвукового исследования (УЗИ), выполненного в стандартном В-режиме, на наличие опухоли, кист и объемных образований, подозрительных на опухоли подслизистого слоя области ротоглотки и гортани, которые не определялись при эндоскопическом исследовании.

Заключение. Получение сонографического изображения одновременно с эндоскопическим исследованием образований в подслизистом слое ротоглотки и гортаноглотки позволит укоротить диагностический алгоритм исследования у пациентов с патологическими изменениями этой области. Применение эндосонографии позволило подтвердить данные, полученные при УЗИ в В-режиме и которые не подтверждались эндоскопическим исследованием.

Ключевые слова: опухоли головы и шеи, эндосонография, опухоли гортани, опухоль ротоглотки, ультразвуковое исследование.

Для цитирования: Аллахвердиева Г.Ф., Синюкова Г.Т., Малихова О.А. и др. Значимость эндосонографии в диагностике опухолевой и предопухолевой патологии гортани, ротоглотки и гортаноглотки. Современная Онкология. 2019; 21 (2): 46–50. DOI: 10.26442/18151434.2019.2.190330

Original Article

Relevance of endosonography in diagnosis of tumor and pretumor pathology of the larynx, oropharynx and laryngopharynx

Goncha F. Allakhverdieva^{✉1}, Galina T. Sinyukova¹, Olga A. Malikhova^{1,2}, Armen O. Tumanian¹, Leonid V. Cherkes¹, Elena A. Gudilina¹, Tatiana Yu. Danzanova¹, Viktoria V. Opekunova¹

¹N.N. Blokhin National Medical Research Center of Oncology, Moscow, Russia;

²Russian Medical Academy of Continuous Professional Education, Moscow, Russia

[✉]goncha06@rambler.ru

Abstract

Aim. The study objective is studying the possibility of endosonography in the diagnosis of tumor and pretumor pathology of the larynx, oropharynx and laryngopharynx.

Materials and methods. Endosonographic study was conducted in 20 patients with tumors and suspected tumors of the larynx, laryngopharynx and oropharynx.

Results. The use of endoscopic ultrasound (EUS) method was useful and important in determining the thickness and structure of the tumor, with hyperplasia of the lingual and palatine tonsils. Endosonographic picture of fibrous changes after surgery and post-radiation changes, lack of blood flow in the fibrous tissue and blurred contours gave additional information in the differential diagnosis of tumor and non-tumor changes. The results of the ultrasound examination performed in the standard B-mode for the presence of tumors, cysts and formations, suspicious of the tumor of the submucosal layer of the oropharynx and larynx, which were not determined by endoscopic examination, were confirmed.

Conclusion. Obtaining a sonographic image simultaneously with endoscopic examination of the formations in the submucosal layer of the oropharynx and larynx will shorten the diagnostic algorithm of the study in patients with pathological changes in this area. The use of endosonography made it possible to confirm the data obtained by ultrasound examination in B-mode and which were not confirmed by endoscopic examination.

Key words: head and neck tumor, endoscopic ultrasound, laryngeal tumors, oropharyngeal tumors, ultrasound.

For citation: Allakhverdieva G.F., Sinyukova G.T., Malikhova O.A. et al. Relevance of endosonography in diagnosis of tumor and pretumor pathology of the larynx, oropharynx and laryngopharynx. Journal of Modern Oncology. 2019; 21 (2): 46–50. DOI: 10.26442/18151434.2019.2.190330

Опухоли гортани составляют 1/4 часть всех злокачественных новообразований головы и шеи, и безрецидивное течение заболевания и выживаемость больных раком гортани в основном зависят от ранней диагностики [1].

Гортань и гортаноглотка по частоте поражения являются основными локализациями среди органов головы и шеи, а рак гортани по частоте заболеваемости занимает 5-е место в России [2, 3].

Среди злокачественных новообразований гортани чаще всего (98%) развивается плоскоклеточный рак. Злокачественные неэпителиальные опухоли гортани, по данным литературы, составляют 0,5–2,2% [4, 5].

Из всех существующих методов ранней диагностики опухолей, поражающих слизистую оболочку полых органов, ведущим остается фиброларингоскопия (ФЛС) [6–11].

Эндоскопическому исследованию принадлежит ведущая роль в выявлении предраковых изменений слизистой оболочки дыхательных путей, включая все отделы гортани, формирование групп риска и дальнейшее динамическое наблюдение за ними. Высока информативность этого метода в выявлении рецидивных опухолей [12, 13]. Проведение биопсии во время эндоскопического исследования и выявление «малых» опухолей, определение формы роста и распространенности опухоли позволяют установить адекватные подходы в планировании лечения больных раком гортани [14].

Однако этот метод не лишен недостатков. Невозможно провести ФЛС пациентам со стенозом гортани, а часто пациенты с распространенным опухолевым процессом относятся именно к этой категории больных. К другим недостаткам ФЛС относят низкую информативность метода в определении распространенности опухоли по подслизистому слою при эндофитных и смешанных опухолях, инвазии и нарушении целостности хрящевой гортани [15, 16].

И если для диагностики небольших опухолей гортани методом выбора является эндоскопический, то для распространенного опухолевого процесса отдаётся предпочтение компьютерной томографии (КТ) и магнитно-резонансной томографии (МРТ) [17–19].

Существуют единичные исследования, в которых показана высокая диагностическая ценность ультразвукового исследования (УЗИ) как неинвазивного метода в оценке подвижности голосовых связок [20]. Распространение опухоли за пределы гортани: инвазия щитовидной железы, мягких тканей вокруг гортани, щитовидной и щитоперстневидной мембран, подскладочного отдела, сосудистого пучка – все эти структуры, визуализация которых хорошо доступна при УЗИ [21, 22], требуют четкой методики осмотра для установления анатомической принадлежности и правильной интерпретации полученных данных при УЗИ.

Эндоскопическое УЗИ (ЕУЗИ) гортани представляет собой метод вертикальной эндоскопической визуализации, который дает дополнительную информацию о распространении опухолевого процесса в гортани и гортаноглотке. Этот метод сочетает в себе преимущество эндоскопического исследования и УЗИ. При этом исследовании применяются высокочастотные датчики от 10–20 МГц. Эта методика высокочувствительна к опухолям толщиной от 3,0 мм, распространению опухолевого процесса в гортани на щитовидную железу, не уступает, а даже превосходит результаты МРТ [23].

G. Mannelli и соавт. в обзорной статье [24] показали, что эндосонографические исследования гортани в основном носили экспериментальный характер [25–29]. И лишь в 2013 г. M. Kraft и соавт. провели большое клиническое исследование, в котором сравнивались результаты эндосонографии с рентгеновской КТ (РКТ) и МРТ у больных раком гортани, в котором точность эндосонографии составила 89%, тогда как при МРТ и РКТ она составила 77 и 77% соответственно [30].

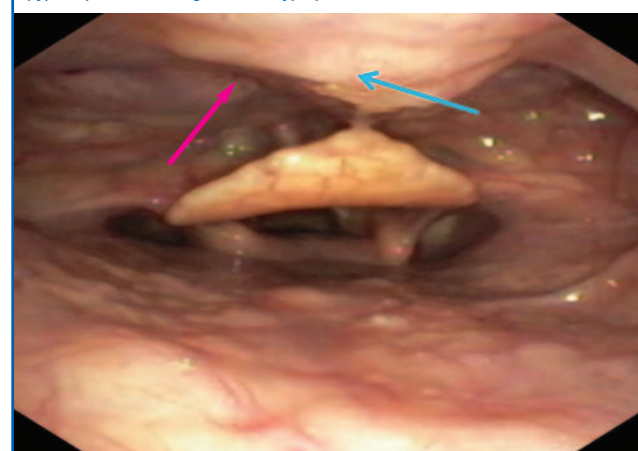
Материалы и методы

В наше исследование были включены 20 больных с опухолями и подозрением на опухоли гортани, гортаноглотки и ротовоглотки, которым было проведено эндосонографическое исследование.

Рис. 1. Пациент А. УЗИ в В-режиме в сочетании с режимом цветного допплеровского картирования. Гиперплазия язычной миндалины.
Fig. 1. Patient A. Ultrasound B-scanning combined with Doppler color flow mapping. Lingual tonsillar hyperplasia.



Рис. 2. Пациент А. Эндоскопическое исследование ротовоглотки (видеофарингоскопия) у пациента с гиперплазией язычной миндалины.
Fig. 2. Patient A. Endoscopic examination of the oropharynx (videopharyngoscopy) in a patient with lingual tonsil hyperplasia.



Примечание. Слизистая в области корня языка не изменена (указано синей стрелкой).
Note. The mucosa in the area of the base of tongue is not changed, indicated by the blue arrow.

Все эндоскопические исследования проводились под действием местной анестезии 10 и 2% раствором лидокаина.

Были использованы ультразвуковой конвексный эхоДэндоскоп, модель BF UC160 F OL8 1700517, и экстратонкий мини-зонд UM-S20-20R.

Ультразвук:

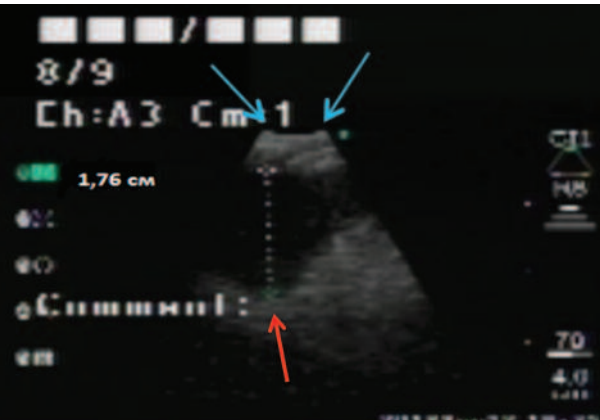
- режимы ультразвукового изображения: В-режим, цветной энергетический допплер;
- метод сканирования: электронное линейное при конвексном датчике и механическое радиальное – при мини-зонде;
- частоты – 7,5 МГц – при конвексном датчике и 20,0 МГц – при мини-зонде;
- диапазон сканирования – 50° при конвексном датчике и 360° по окружности при мини-зонде;
- методы контакта – прямой контактный, а также баллонный;
- глубина сканирования 50 мм – при конвексном датчике и 20 мм – при мини-зонде.

Во время исследования программа цветного допплеровского картирования позволяла определить наличие или отсутствие кровотока в данном образовании, его интенсивность, что в дальнейшем играло важную роль при выполнении пункционной биопсии.

Распределение больных в зависимости от локализации опухоли или образований, подозрительных в отношении опухоли
Distribution of patients depending on the location of the tumor or formations suspicious of the tumor

Исследуемая ткань	Гортань (n=9)	Гортаноглотка (n=4)	Корень языка (n=5)	Небные миндалины (n=2)
Первичная опухоль	4	3		
Рецидив	1		1	
Остаточная опухоль после химиолучевой терапии	2			
Киста	2			
Гиперплазия язычной миндалины			2	
Гиперплазия небной миндалины				1
Ольфакторная нейробластома				1
Агрессивный фиброматоз (десмоид)			1	
Фиброзные изменения	1	1		
Всего (n=20)	10	4		2

Рис. 3. Пациент А. Эндосонографическое исследование. Образование в подслизистом слое корня языка.
Fig. 3. Patient A. Endoscopic ultrasound examination. Formation is in the submucosal layer of the base of tongue.



Примечание. Синими стрелками указана неизмененная структура слизистой, красной стрелкой – образование в подслизистом слое корня языка – гиперплазия язычной миндалины.
Note. The blue arrows indicate the unchanged structure of the mucous membrane, the red arrow – the formation in the submucosal layer of the base of tongue – hyperplasia of the lingual tonsil.

Эндосонографическое исследование выполнялось всегда после стандартного УЗИ и эндоскопического исследования. Такая последовательность применения диагностических методов исследования позволила ответить на расхождение заключений УЗИ и эндоскопического исследования или подтвердить полученные данные при двух методах.

В таблице представлено распределение больных в зависимости от локализации опухоли и образований, подозрительных на опухоль.

У 19 из 20 больных диагноз был подтвержден данными биопсии или послеоперационного гистологического исследования. У 1 больной с кистой боковой стенки гортани была произведена пункция под контролем УЗИ и эвакуировано содержимое кисты. Другая киста надскладочного отдела гортани была оставлена на динамическое наблюдение из-за небольших размеров (до 1,0 см).

Как видно из таблицы, в нашем исследовании 10 больным было проведено эндосонографическое исследование при опухолях и подозрении на опухоль в полости гортани и у 4 больных – гортаноглотки. Эндосонографическое исследование проводилось под контролем видеоларингоскопии. После визуализации области локализации опухоли или изменений, подозрительных на опухолевые, при видеоларингоскопии к этой области подводился ультразвуковой эндоскопический датчик, и под контролем видеоизображения проводилась эндосонография. Также была разработана методика эндосонографического осмотра голосовых связок гортани конвексным датчиком через грушевидные синусы.

Эндосонографическая методика осмотра голосовых связок и полости складочного отдела гортани через грушевидные синусы заключалась в возможности визуализировать поочередно стеники грушевидных синусов и голосовые связки. Конвексный датчик устанавливался последовательно в правый и левый грушевидные синусы. Движение голосовых связок во время дыхания и фонационной пробы позволяло определить границы и контуры стенки грушевидного синуса, голосовых связок, их толщину, а при наличии объемных образований – давало возможность оценить структуру, эхогенность и толщину визуализируемого образования.

При плоскоклеточном раке гортани и гортаноглотки опухолевые изменения хорошо визуализировались при эндоскопической видеоларингоскопии.

Результаты эндосонографического исследования при определении толщины плоскоклеточных опухолей гортани и гортаноглотки полностью совпали с данными УЗИ во всех случаях.

У 2 больных при УЗИ был поставлен диагноз кист надскладочного и складочного отдела гортани, они были ранее прооперированы по поводу рака корня языка в первом случае и рака складочного отдела гортани – во втором. При видеоларингоскопии кисты визуализировались в подслизистом слое описанных областей, в толще фиброзных изменений, в виде небольших полукруглых образований. При проведении эндосонографического исследования наличие капсулы и жидкостного содержимого в образованиях полностью подтверждало данные УЗИ.

Фиброзные изменения при эндосонографическом исследовании характеризовались более мягкими и нечеткими границами, отсутствием кровотока в структуре фиброзных тяжей. Возможность детально визуализировать структуру исследуемых образований при непосредственном контакте датчика с опухолью при эндосонографическом исследовании позволяла точнее судить о природе образования.

В 2 случаях поражения надгортанника эндосонографическое исследование было более точным, чем УЗИ. В одном случае при УЗИ была выявлен гипоэхогенный участок в области основания надгортанника, тогда как при эндосонографическом исследовании четко определялась опухоль в области надгортанника с нарушением целостности тканей хряща, что было подтверждено гистологическими данными после операции. Во втором случае при поражении надгортанника данные эндосонографического исследования в определении толщины опухоли были более точны, чем при УЗИ.

Из 6 больных с опухолями и образованиями, подозрительными на опухоли, в области ротоглотки у 4 больных образование локализовалось в области корня языка, и при гистологическом исследовании в 2 случаях оказалось гиперплазированными язычными миндалинами, в 1 случае – рецидивом плоскоклеточного рака и в 1 случае – десмоидной опухолью (агрессивный фиброматоз).

При локализации образования в области небных миндалин в одном случае данные биопсии исключили опухолевую природу образования и был поставлен диагноз гиперплазии небных миндалин, а во втором случае образование в

проекции небной миндалины оказалось редкой опухолью нейроэктомальной природы – ольфакторной нейробластомой, которая располагалась в подслизистом слое.

Наличие объемного образования в области корня языка и небных миндалин было выявлено на УЗИ при обращении пациента в клинику с жалобами на инородное тело в области ротоглотки (рис. 1).

Эндоскопическая видеофарингоскопия в случае гиперплазии небных и язычной миндалин, а также при десмойдной опухоли и ольфакторной нейробластоме не выявила изменений слизистой в области ротоглотки (рис. 2).

Однако при проведении эндосонографического исследования данные УЗИ о наличии объемных образований в подслизистом слое области корня языка и миндалин были полностью подтверждены. После проведения пункционной биопсии был поставлен диагноз гиперплазии небной миндалины (рис. 3).

Во всех случаях было произведено морфологическое исследование с определением природы описанных образований. Диагностические пункционные биопсии проводились как во время эндоскопического исследования, так и под контролем УЗИ транскutanно.

Таким образом, применение эндосонографического метода было полезным и важным в определении толщины и структуры опухоли, а также подтверждении результатов УЗИ на наличие опухоли, кист и объемных образований, подозрительных на опухоль, в области ротоглотки и горлани, которые располагались в подслизистом слое и не определялись при эндоскопическом исследовании – видеофаринго- и видеоларингоскопии.

Получение сонографического изображения одновременно с эндоскопическим исследованием образований в подслизистом слое ротоглотки и горланоглотки позволит укоротить диагностический алгоритм исследования у таких пациентов. В нашем исследовании применение эндосонографии позволило подтвердить данные, полученные при УЗИ в В-режиме и не подтверждавшиеся эндоскопическим исследованием.

Конфликт интересов. Авторы заявляют об отсутствии конфликта интересов.

Conflict of interests. The authors declare that there is not conflict of interests.

Литература/References

1. American Cancer Society. *Cancer facts & figures: 2013*. Available from: <http://www.cancer.org/research/cancerfactsstatistics/cancerfactsfigures/2013/index>.
2. Чиссов В.И., Старинский В.В., Петрова Г.В. Злокачественные новообразования в России в 2011 году. М.: ФГБУ «МНИОИ им. ПА Герцена» Минздрава России, 2013; с. 13, 14, 34.
[Chissov VI., Starinskii V.V., Petrova G.V. Zlokachestvennye novoobrazovaniia v Rossii v 2011 godu. Moscow: MNIOI im. PA Gertsena Minzdrava Rossii, 2013; s. 13, 14, 34 (in Russian).]
3. Абызов Р.А. Лоронкология. СПб: Диалог, 2004; с. 57–8, 151.
[Abyzov RA. Loronkologiya. Saint Petersburg: Dialog, 2004; s. 57–8, 151 (in Russian).]
4. Буганов Д.В., Семенова Л.А., Махсон А.Н. Хондроаркома горлани: Лекция. Архив патологии: Научно-теоретический журнал. 2007; 69 (6): 52–9.
[Bulanov D.V., Semenova LA, Makinson AN. Khondrosarkoma gortani: Lektsiya. Arkhiv patologii: Nauchno-teoreticheskii zhurn. 2007; 69 (6): 52–9 (in Russian).]
5. Shellenberger TD, Sturgis EM. Sarcomas of the head and neck region. Curr Oncol Rep 2009; 11 (2): 135–42.
6. Зенгер В.Г., Ашбуров З.М., Коломенский Е.Е. Оптимизация анестезиологического обеспечения микроопераций на горлани. Пособие для врачей. М., 2002; с. 4–13.
[Zenger V.G., Ashburov Z.M., Kolomenskii E.E. Optimizatsiia anesteziolicheskogo obespechenii mikrooperatsii na gortani. Posobie dlia vrachei. Moscow, 2002; p. 4–13 (in Russian).]
7. Хоров О.Г., Рыбак Р.Ф. Микроларингоскопия в диагностике и лечении предраковых и опухолевых заболеваний горлани. Материалы III съезда онкологов и радиологов СНГ. Минск, 2004. Часть II.
[Khorov O.G., Rybak R.F. Mikrolaringoskopiiia v diagnostike i lechenii predrakoviykh i opukholevyykh zabolевaniy gortani. Materialy III s'ezda onkologov i radiologov SNG. Minsk, 2004. Chast' II (in Russian).]
8. Черемисина О.В., Чойнзонов Е.Л. Возможности эндоскопической диагностики предопухолевых заболеваний и рака горлани в современной онкологии. Сиб. онкол. журн. 2007; 3 (23): 5–9.
[Cheremisina O.V., Choinzonov E.L. Vozmozhnosti endoskopicheskoi diagnostiki predopukholevykh zabolевaniy i raka gortani v sotvremennoi onkologii. Sib. onkol. zhurn. 2007; 3 (23): 5–9 (in Russian).]
9. Шилова О.Ю., Уразова Л.Н., Мухаммедов М.Р. Рак горлани: Факторы риска. Онкохирургия. 2009; Г (2): 49.
[Shilova O.Yu., Urazova L.N., Mukhammedov M.R. Rak gortani: Faktory riska. Onkokhirurgija. 2009; G (2): 49 (in Russian).]
10. Ассоциация онкологов России, Российское общество специалистов по опухолям головы и шеи, Российское общество клинической онкологии, Клинические рекомендации. Рак ротоглотки, 2018.
[Assotsiatsiia onkologov Rossii, Rossiiskoe obshchestvo spetsialistov po opukholiam golovy i shei, Rossiiskoe obshchestvo klinicheskoi on-
11. Renner G. Small cell carcinoma of the head and neck: a review. Semin Oncol 2007; 34: 3–14.
12. Унгайдзе Г.В., Вакурова Е.С. Эндоскопическая диагностика раннего рака горлани. Сиб. онкол. журн. 2010; 2 (Прил): 49–50.
[Ungiadze G.V., Vakurova E.S. Endoskopicheskaiia diagnostika ranne-go raka gortani. Sib. onkol. zhurn. 2010; 2 (Pril): 49–50 (in Russian).]
13. Шинкарев С.А., Коренев А.А., Подольский В.Н. и др. Использование компьютерной обработки данных видеоэндоскопического исследования горлани в планировании и оценке результатов лечения рака горлани. Современная Онкология. 2007; 9 (2): 50.
[Shinkarev SA., Korenev AA., Podols'kiy VN. et al. Ispol'zovanie kompi'uternoi obrabotki dannyykh videoendoskopicheskogo issledovaniia gortani v planirovaniu i otsenke rezul'tatov lecheniya raka gortani. Journal of Modern Oncology. 2007; 9 (2): 50. (in Russian).]
14. Pesko P, Bjelovic M, Sabljak P et al. Intraoperative endoscopy in obstructive hypopharyngeal carcinoma. World J Gastroenterol 2006; 12 (28): 4561–4.
15. Чесноков А.А. Четвертый вариант чресщитовидной субтотальной резекции горлани как шанс социальной реабилитации больных раком горлани IV стадии. Вестн. оториноларингологии. 2012; 5: 300–1.
[Chesnokov AA. Chetvertyi variant chresschitovidnoi subtotal'noi rezektii gortani kak shans sotsial'noi reabilitatsii bol'nykh rakom gortani IV stadii. Vestn. otorinolaringologii. 2012; 5: 300–1 (in Russian).]
16. Narumi T, Kozawa E, Heshiki A et al. CT and MRI findings of a solitary extramedullary plasmacytoma of the oropharynx: case report. Radiat Med 2005; 23 (8): 574–57.
17. Hirofumi Kuno, Hiroaki Onaya, Satoshi Fujii et al. Primary staging of laryngeal and hypopharyngeal cancer: CT, MR imaging and dual-energy CT. Eur J Radiol 2014; 83 (1): e23–e35.
18. Pfister DG, Laurie SA, Weinstein GS et al. American Society of Clinical Oncology clinical practice guideline for the use of larynx-preservation strategies in the treatment of laryngeal cancer. J Clin Oncol 2006; 24: 3693–704.
19. Hoffman HT, Porter K, Karnell LH et al. Laryngeal cancer in the United States: changes in demographics, patterns of care, and survival. Laryngoscope 2006; 116: 1–13.
20. Tsai CG, Chen JH, Shau YW, Hsiao TY. Dynamic B-mode ultrasound imaging of vocal fold vibration during phonation. Ultrasound Med Biol 2009; 35: 1812–8.
21. Hu Q, Zhu SY, Zhang Z et al. Assessment of glottis squamous cell carcinoma: Comparison of sonography and non-contrast-enhanced magnetic resonance imaging. J Ultrasound Med 2011; 30: 1467–74.
22. Xia CX, Zhao HX et al. Usefulness of ultrasonography in assessment of laryngeal carcinoma. Br J Radiol 2013; 86: 20130343.

23. Arens C, Kraft M. Endoscopic ultrasound of the larynx. *Curr Opin Otolaryngol Head Neck Surgery* 2016; Abstr.
24. Mannelli G, Cecconi L, Gallo O. Laryngeal preneoplastic lesions and cancer: challenging diagnosis. Qualitative literature review and meta-analysis. *Crit Rev Oncol/Hematol* 2016; 106: 64–90.
25. Arens C, Glanz H. Endoscopic high-frequency ultrasound of the larynx. *Eur Arch Otorhinolaryngol* 1999; 256: 316–22.
26. Arens C, Eistert B, Glanz H, Waas W. Endolaryngeal high-frequency ultrasound. *Eur Arch Otorhinolaryngol* 1998; 255: 250–5.
27. Arens C, Malzahn K, Dias O et al. Endoscopic imaging techniques in the diagnosis of laryngeal carcinoma and its precursor lesions. *Laryngorhinootologie* 1999; 78: 685–91.
28. Tamura E, Kitabara S, Kobno N. Clinical assessment of intralaryngeal ultrasonography. *Laryngoscope* 2001; 111: 1767–70.
29. Zech M, Scheer M, Maier H, Hepp W. Endosonography of the larynx. *Eur Arch Otorhinolaryngol* 1994; 251: 480–1.
30. Kraft M, Bruns N, Hugens-Penzel M, Arens C. Clinical value of endosonography in the assessment of laryngeal cancer. *Head Neck* 2013; 35: 195–200.

Информация об авторах / Information about the authors

- Аллахвердиева Гонча Фаридовна** – канд. мед. наук, ст. науч. сотр. отд-ния ультразвуковой диагностики НИИ клинической и экспериментальной радиологии ФГБУ «НМИЦ онкологии им. Н.Н. Блохина». E-mail: goncha06@rambler.ru; ORCID: <https://orcid.org/0000-0001-5910-5892>
- Синюкова Галина Тимофеевна** – д-р мед. наук, проф., зав. отд-нием ультразвуковой диагностики НИИ клинической и экспериментальной радиологии ФГБУ «НМИЦ онкологии им. Н.Н. Блохина»
- Малихова Ольга Александровна** – д-р мед. наук, зав. отд-ием эндоскопии ФГБУ «НМИЦ онкологии им. Н.Н. Блохина», проф. каф. онкологии и паллиативной медицины ФГБОУ ДПО РМАНПО
- Туманян Армен Овикович** – д-р мед. наук, ст. науч. сотр. научно-консультативного отд-ния ФГБУ «НМИЦ онкологии им. Н.Н. Блохина»
- Черкес Леонид Викторович** – канд. мед. наук, ст. науч. сотр. отд-ния эндоскопии ФГБУ «НИИ онкологии им. Н.Н. Блохина»
- Гудилина Елена Анатольевна** – канд. мед. наук, ст. науч. сотр. отд-ния ультразвуковой диагностики НИИ клинической и экспериментальной радиологии ФГБУ «НМИЦ онкологии им. Н.Н. Блохина»
- Данзанова Татьяна Юрьевна** – д-р мед. наук, ст. науч. сотр. отд-ния ультразвуковой диагностики НИИ клинической и экспериментальной радиологии ФГБУ «НИИ онкологии им. Н.Н. Блохина»
- Опекунова Виктория Вадимовна** – врач отд-ния эндоскопии ФГБУ «НИИ онкологии им. Н.Н. Блохина»
- Goncha F. Allakhverdieva** – Cand. Sci. (Med.), N.N. Blokhin National Medical Research Center of Oncology. E-mail: goncha06@rambler.ru; ORCID: <https://orcid.org/0000-0001-5910-5892>
- Galina T. Sinyukova** – D. Sci. (Med.), Full Prof., N.N. Blokhin National Medical Research Center of Oncology
- Olga A. Malikhova** – D. Sci. (Med.), N.N. Blokhin National Medical Research Center of Oncology, Prof., Russian Medical Academy of Continuous Professional Education
- Armen O. Tumanian** – D. Sci. (Med.), N.N. Blokhin National Medical Research Center of Oncology
- Leonid V. Cherkes** – Cand. Sci. (Med.), N.N. Blokhin National Medical Research Center of Oncology
- Elena A. Gudilina** – Cand. Sci. (Med.), N.N. Blokhin National Medical Research Center of Oncology
- Tatiana Yu. Danzanova** – D. Sci. (Med.), N.N. Blokhin National Medical Research Center of Oncology
- Viktoria V. Opekunova** – doctor, N.N. Blokhin National Medical Research Center of Oncology

Статья поступила в редакцию / The article received: 19.04.2019

Статья принята к печати / The article approved for publication: 30.05.2019